

## **Universitäts- und Landesbibliothek Tirol**

**Die theoretischen und experimentellen Grundlagen des  
neuen Wärmesatzes**

**Nernst, Walther**

**Halle (Saale), 1918**

Anhang

[urn:nbn:at:at-ubi:2-6695](#)

teilung, in der Tat nunmehr auch einen Adiabatenverlauf, der zum Schneiden der Temperaturachse führt (vgl. S. 75 u. 76), für sehr unwahrscheinlich hält, so ist auch bezüglich der Beweiskraft meiner im Kap. VII (bzw. in Arbeit 65) mitgeteilten Betrachtungen nunmehr volle Übereinstimmung erzielt.

---

## Anhang.

**1. Buchstabenbezeichnungen und Zahlenwerte.** Wenn nichts anderes bemerkt, haben die nachfolgenden Buchstaben folgende Bedeutung:

$P, p$  . . . Druck,

$V, v$  . . . Volumen,

$T$  . . . . absolute Temperatur,

$\pi_0$  . . . . kritischer Druck,

$\vartheta_0$  . . . . kritische Temperatur,

$K$  . . . . Konstante des Gesetzes der Massenwirkung,

$C_v$  . . . . Molekularwärme bei konstantem Volumen,

$C_p$  . . . . Molekularwärme bei konstantem Druck,

$E$  . . . . Wärmeinhalt ( $= \int_0^T C_v dT$  bzw.  $\int_0^T C_p dT$ ),

$F$  . . . . Inhalt an freier Energie  $\left( = T \int_0^T \frac{E}{T^2} dT \right)$ ,

$\nu$  . . . . Schwingungszahl oder Tourenzahl,

$\beta\nu = \frac{h\nu}{k}$  . . spezifische Temperatur.

Daß an einzelnen Stellen  $E$  auch die elektromotorische Kraft einer galvanischen Zelle,  $EF$  die von ihr pro elektrochemisches Grammäquivalent geleistete Arbeit bedeutet, ferner  $F$  S. 174—176 das thermodynamische Potential bezeichnet, kann zu Verwechslungen wohl keinen Anlaß geben.

In der Fundamentalgleichung

$$pv = RT$$

bezieht sich die Gaskonstante  $R$  auf ein Mol; bei Normalbedingungen ( $0^\circ$  in gewöhnlicher Zählung oder  $T_0 = 273,09$  in absoluter Zäh-

lung und Atmosphärendruck) erfüllt ein Mol eines idealen Gases 22,412 Liter. Es folgt daraus

$$R = 0,0819 \left[ \frac{\text{Literatm.}}{\text{Celsiusgr.}} \right]$$

oder

$$R = 8,315 \cdot 10^7 \left[ \frac{\text{Erg}}{\text{Celsiusgr.}} \right]$$

oder schließlich, wenn wir als Einheit der Energie, wie fast stets in diesem Buche geschehen, die 15°-Grammkalorie wählen,

$$R = 1,985 \left[ \frac{\text{g-cal.}}{\text{Celsiusgr.}} \right].$$

Es bedeutet ferner stets:

$\log x$  . . . gewöhnlicher Logarithmus von  $x$ ,

$\ln x$  . . . natürlicher Logarithmus von  $x$ .

Für die beiden fundamentalen thermodynamischen Funktionen (Gesamtenergie und freie Energie) werden stets  $U$  und  $A$  benutzt, und zwar bedeutet  $U$  die bei einem Vorgange entwickelte Energie oder, mit andern Worten, die insgesamt in einem Kalorimeter zu messende Wärmemenge, und  $A$  die entsprechende maximale Arbeitsleistung bei isothermen Prozessen. Mir schien diese vom bisherigen Sprachgebrauch vielfach betreffs des Vorzeichens abweichende Bezeichnungsweise aus folgenden Gründen zweckmäßig:

1. In der Thermochemie zählt man von jeher stets die entwickelten Wärmemengen positiv.

2. Bei obiger Definition wird

$$dA = pdv,$$

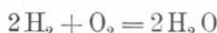
d. h. positiv; die beiden grundlegenden Gleichungen (1) und (43) — vgl. S. 75 —

$$(1) \quad \dots \quad A - U = T \frac{dA}{dT},$$

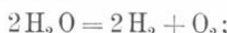
$$(43) \quad \dots \quad p - \frac{\partial U}{\partial v} = T \frac{dp}{dT}$$

werden betreffs des Vorzeichens homogen.

3. Es ist in der Chemie seit jeher üblich, Reaktionsgleichungen in der Regel so zu schreiben, wie sie normalerweise verlaufen, also z. B.



und (nur in Ausnahmefällen)



unter Benutzung der erstenen Schreibweise sind  $U$  und  $A$  in der Regel positiv, wenn man die von uns benutzte Wahl des Vorzeichens annimmt.

Schließlich seien noch folgende Zahlenwerte von Naturkonstanten zusammengestellt, sämtlich auf das cgs-System bezogen:

Lichtgeschwindigkeit . . . . .  $c = 3,00 \cdot 10^{10}$ .

Plancksche Konstante . . . . .  $h = 6,55 \cdot 10^{-27}$ .

Gaskonstante . . . . .  $R = 8,315 \cdot 10^7$ .

Zahl der Molekülen, pro Mol . . . . .  $N = 6,17 \cdot 10^{23}$ .

Masse des Wasserstoffatoms . . . . .  $m = 1,63 \cdot 10^{-24}$ .

Masse des negativen Elektrons. . . . .  $\mu = 8,9 \cdot 10^{-28}$ .

$$k = \frac{R}{N} = 1,347 \cdot 10^{-16}; \quad \beta = \frac{h}{k} = 4,863 \cdot 10^{-11}.$$

**2. Tabellen.** Auf den folgenden Seiten befinden sich einige Tabellen, die bei Rechnungen an der Hand des Wärmesatzes sehr nützlich sind:

Tab. I.  $C_v$  nach Einstein (vgl. S. 49, Formel (12)).

Tab. II.  $C_v$  nach Debye (vgl. S. 51).

Tab. III.  $\frac{E}{T}$  nach Einstein (vgl. S. 78).

$$\frac{E}{T} = 3 R \frac{\frac{\beta\nu}{T}}{e^{\frac{\beta\nu}{T}} - 1}.$$

Tab. IV.  $\frac{F}{T}$  nach Einstein (vgl. S. 78).

$$\frac{F}{T} = -3 R \ln(e^{\frac{\beta\nu}{T}} - 1) + 3 R \frac{\beta\nu}{T}.$$

Tab. V.  $\frac{E}{T}$  nach Debye (vgl. S. 79 Formel 55)

$$\frac{E}{T} = \frac{9}{12} R \left( \frac{C}{C_\infty} + \frac{\frac{3}{T} \frac{\beta\nu}{e^{\frac{\beta\nu}{T}} - 1}}{\frac{\beta\nu}{e^{\frac{\beta\nu}{T}} - 1}} \right).$$

Tab. VI.  $\frac{F}{T}$  nach Debye (vgl. S. 79 Formel 58)

$$\frac{F}{T} = \frac{E}{3T} - 3 R \ln \left( 1 - e^{-\frac{\beta\nu}{T}} \right).$$

Tab. II ist der Arbeit (79) entnommen; die übrigen Tabellen sind von Fr. Miething berechnet worden.

$\frac{\beta_v}{T}$  von 0 bis 14. Tabelle I.  $C_v$  nach Einstein.

$\frac{\beta_v}{T}$	0,0	0,1	0,2	0,3	0,4	0,5	0,6	0,7	0,8	0,9	1,0
0	5,965	5,947	5,935	5,911	5,878	5,833	5,780	5,718	5,648	5,568	5,483
1	5,483	5,401	5,279	5,184	5,071	4,954	4,832	4,706	4,578	4,446	4,312
2	4,312	4,176	4,039	3,902	3,764	3,626	3,489	3,353	3,218	3,086	2,954
3	2,954	2,827	2,701	2,578	2,458	2,342	2,229	2,119	2,013	1,910	1,811
4	1,811	1,715	1,623	1,536	1,451	1,370	1,292	1,218	1,148	1,081	1,017
5	1,017	0,956	0,898	0,843	0,791	0,743	0,696	0,652	0,610	0,571	0,535
6	0,535	0,499	0,466	0,436	0,407	0,379	0,354	0,330	0,307	0,286	0,266
7	0,266	0,248	0,231	0,215	0,200	0,185	0,172	0,160	0,149	0,138	0,128
8	0,128	0,119	0,110	0,102	0,0945	0,0884	0,0811	0,0752	0,0695	0,0650	0,0600
9	0,0600	0,0554	0,0509	0,0468	0,0435	0,0400	0,0372	0,0340	0,0310	0,0286	0,0266
10	0,0266	0,0247	0,0231	0,0212	0,0196	0,0180	0,0167	0,0152	0,0142	0,0129	0,0119
11	0,0119	0,0110	0,0102	0,0093	0,0085	0,0078	0,0073	0,0067	0,0062	0,0057	0,0052
12	0,0052	0,0048	0,0045	0,0041	0,0038	0,0035	0,0032	0,0029	0,0027	0,0024	0,0022
13	0,0022	0,0020	0,0019	0,0017	0,0016	0,0015	0,0014	0,0013	0,0012	0,0011	0,0010

$\frac{\beta\nu}{T}$  von 0 bis 30. Tabelle II.  $C_v$  nach Debye.

$\frac{\beta\nu}{T}$	0,0	0,1	0,2	0,3	0,4	0,5	0,6	0,7	0,8	0,9	1,0
0	5,955	5,95	5,94	5,93	5,91	5,88 <sub>3</sub>	5,85	5,81	5,77	5,73	5,67
1	5,670	5,61	5,54	5,48	5,41	5,34	5,26	5,18	5,08	5,00	4,91
2	4,914	4,82	4,73	4,64	4,54	4,43 <sub>7</sub>	4,34	4,24	4,14	4,04	3,94
3	3,94 <sub>1</sub>	3,84	3,74	3,65	3,55	3,45	3,36	3,27	3,18	3,09	3,00
4	2,99 <sub>6</sub>	2,91	2,83	2,75	2,67	2,59	2,51	2,43	2,35	2,27	2,20
5	2,19 <sub>8</sub>	2,13	2,06	2,00	1,94	1,88	1,82	1,76	1,70	1,64	1,58
6	1,58 <sub>1</sub>	1,53	1,48	1,43	1,38	1,34	1,30	1,26	1,22	1,18	1,14
7	1,137	1,102	1,067	1,033	1,000	0,968	0,937	0,907	0,879	0,853	0,830
8	0,830	0,810	0,790	0,770	0,750	0,731	0,712	0,693	0,674	0,655	0,636
9	0,636	0,617	0,598	0,579	0,560	0,541	0,523	0,505	0,487	0,469	0,451
10	0,451	0,435	0,421	0,409	0,398	0,388	0,378	0,368	0,359	0,351	0,343
11	0,343	0,335	0,327	0,319	0,311	0,303	0,295	0,287	0,280	0,273	0,267
12	0,267	0,261	0,255	0,249	0,243	0,237	0,231	0,225	0,220	0,215	0,210
13	0,210	0,205	0,200	0,196	0,192	0,188	0,184	0,180	0,176	0,172	0,168
14	0,168	0,164	0,161	0,158	0,155	0,152	0,149	0,146	0,143	0,140	0,137
15	0,137	0,134	0,131	0,128	0,125	0,123	0,121	0,119	0,117	0,115	0,113

$\frac{\beta\nu}{T}$	$\frac{\beta\nu}{T}$	$\frac{\beta\nu}{T}$	$\frac{\beta\nu}{T}$
0	0,0499	0,0433	0,0380
1	0,094	0,079	0,057 <sub>9</sub>
2	0,113	0,079	0,057 <sub>9</sub>
3	0,14	0,094	0,067
4	0,16	0,113	0,079
5	0,18	0,14	0,094
6	0,20	0,176	0,137
7	0,22	0,14	0,094
8	0,24	0,176	0,137
9	0,26	0,20	0,168

a)  $\frac{\beta\nu}{T}$  von 0 bis 2,00. Tabelle IIIa.

$\frac{E}{T}$  nach Einstein.

$\frac{\beta\nu}{T}$	0	1	2	3	4	5	6	7	8	9	10	
0,0	5,955	30	5,925	29	5,896	29	5,838	29	5,809	29	5,750	29
0,1	5,663	29	5,634	29	5,605	29	5,576	28	5,548	28	5,520	28
0,2	5,380	28	5,352	28	5,324	28	5,296	28	5,268	28	5,240	27
0,3	5,106	26	5,080	27	5,053	26	5,027	26	5,001	27	4,974	26
0,4	4,843	26	4,817	26	4,791	26	4,765	25	4,740	25	4,715	25
0,5	4,590	25	4,565	25	4,540	25	4,515	25	4,490	25	4,465	24
0,6	4,345	24	4,321	24	4,297	24	4,273	23	4,250	23	4,227	24
0,7	4,111	23	4,088	23	4,065	22	4,043	23	4,020	22	3,998	23
0,8	3,887	22	3,865	22	3,843	22	3,821	22	3,799	22	3,777	22
0,9	3,671	21	3,650	20	3,630	21	3,609	20	3,589	20	3,569	21
1,0	3,466	21	3,445	20	3,425	20	3,405	20	3,385	20	3,365	20
1,1	3,268	19	3,249	19	3,230	20	3,210	19	3,191	19	3,172	19
1,2	3,080	18	3,062	18	3,044	18	3,026	18	3,003	18	2,990	18
1,3	2,900	18	2,882	17	2,865	17	2,848	17	2,831	17	2,814	17
1,4	2,729	17	2,712	17	2,695	17	2,678	17	2,661	16	2,645	16
1,5	2,565	15	2,550	16	2,534	16	2,518	16	2,502	15	2,487	16
1,6	2,410	15	2,395	15	2,380	15	2,365	15	2,350	15	2,335	15
1,7	2,263	14	2,249	15	2,234	14	2,220	14	2,206	14	2,192	14
1,8	2,122	14	2,108	14	2,094	13	2,081	13	2,068	13	2,055	13
1,9	1,990	13	1,977	13	1,964	13	1,951	13	1,938	12	1,926	12

b)  $\frac{\beta v}{T}$  von 0 bis 12,0. Tabelle III b.  $\frac{E}{T}$  nach Einstein.

a)  $\frac{\beta\nu}{T}$  von 0 bis 2,00.

Tabelle IVa.  
 $\frac{F}{T}$  nach Einstein.

$\frac{\beta\nu}{T}$	0	1	2	3	4	5	6	7	8	9	10
0,1	14,01	57	13,44	51	12,93	46	12,47	40	12,07	37	11,68
0,2	10,17	25	9,92	24	9,68	24	9,44	23	9,21	23	8,98
0,3	8,04	17	7,87	16	7,71	16	7,55	15	7,40	14	7,26
0,4	6,61	11	6,50	11	6,39	11	6,28	11	6,17	10	6,07
0,5	5,56	9	5,47	9	5,38	10	5,28	9	5,19	9	5,10
0,6	4,74	8	4,66	7	4,59	7	4,52	7	4,45	6	4,39
0,7	4,08	6	4,02	5	3,97	5	3,92	6	3,86	5	3,81
0,8	3,55	4	3,51	4	3,47	5	3,42	4	3,38	4	3,34
0,9	3,11	4	3,07	4	3,03	3	3,00	4	2,96	4	2,93
1,0	2,731	39	2,692	37	2,655	35	2,620	33	2,587	32	2,556
1,1	2,409	29	2,380	28	2,352	28	2,324	27	2,297	27	2,270
1,2	2,134	27	2,107	26	2,081	25	2,056	24	2,032	24	2,008
1,3	1,894	22	1,872	22	1,850	22	1,828	21	1,807	21	1,786
1,4	1,686	19	1,667	19	1,648	19	1,629	19	1,613	19	1,597
1,5	1,502	16	1,486	16	1,470	16	1,454	16	1,438	16	1,423
1,6	1,342	15	1,327	15	1,312	15	1,297	14	1,283	14	1,269
1,7	1,200	13	1,187	14	1,173	13	1,160	12	1,148	13	1,135
1,8	1,075	12	1,063	12	1,051	11	1,040	11	1,029	12	1,017
1,9	0,964	12	0,952	11	0,941	11	0,930	10	0,920	10	0,910

b)  $\frac{\beta\nu}{T}$  von 0 bis 7,0. Tabelle IVb.

$\frac{\beta\nu}{T}$	0,0	0,1	0,2	0,3	0,4	0,5	0,6	0,7	0,8	0,9	1,0
0	$\infty$	-	14,006	3836	10,170	2129	8,041	1333	6,608	1048	5,560
1	2,731	322	2,409	275	2,134	240	1,894	208	1,686	184	1,502
2	0,864	88	0,776	78	0,698	70	0,628	63	0,565	56	0,509
3	0,302	29	0,273	27	0,246	24	0,222	22	0,200	19	0,181
4	0,107	10	0,097	9	0,088	9	0,079	8	0,071	7	0,064
5	0,038	4	0,034	3	0,031	3	0,028	3	0,025	3	0,022
6	0,013	2	0,011	2	0,009	1	0,008	1	0,007	1	0,006
7	0,003										

205

-

a)  $\frac{\beta \nu}{T}$  von 0 bis 2,00.Tabelle V.a.  $\frac{E}{T}$  nach Debye.

$\frac{\beta \nu}{T}$	0	1	2	3	4	5	6	7	8	9	10	
0,1	5,733	23	5,710	22	5,688	21	5,667	21	5,646	21	5,625	21
0,2	5,520	20	5,500	20	5,480	21	5,459	21	5,438	21	5,417	21
0,3	5,312	21	5,291	20	5,271	21	5,250	20	5,230	20	5,210	20
0,4	5,110	19	5,091	20	5,071	20	5,051	20	5,031	19	5,012	20
0,5	4,913	20	4,893	19	4,874	19	4,855	19	4,836	19	4,817	19
0,6	4,722	18	4,704	19	4,685	19	4,666	19	4,647	19	4,628	18
0,7	4,536	18	4,518	18	4,500	17	4,483	18	4,465	18	4,447	18
0,8	4,358	17	4,341	17	4,324	17	4,307	17	4,290	17	4,273	18
0,9	4,186	17	4,169	17	4,152	17	4,135	17	4,118	17	4,101	17
1,0	4,017	16	4,001	16	3,985	17	3,968	16	3,952	17	3,935	17
1,1	3,854	16	3,838	16	3,822	16	3,806	16	3,790	16	3,774	16
1,2	3,695	15	3,680	15	3,665	15	3,650	15	3,635	15	3,620	15
1,3	3,545	15	3,530	15	3,515	15	3,500	14	3,486	15	3,471	14
1,4	3,399	14	3,385	14	3,371	14	3,357	14	3,343	14	3,329	14
1,5	3,259	14	3,245	14	3,231	14	3,217	14	3,203	13	3,190	14
1,6	3,123	13	3,110	14	3,096	14	3,082	13	3,069	13	3,056	13
1,7	2,992	13	2,979	13	2,966	13	2,953	13	2,940	13	2,927	12
1,8	2,864	13	2,851	12	2,839	13	2,826	12	2,814	13	2,801	12
1,9	2,739	12	2,727	11	2,716	12	2,704	12	2,692	11	2,681	11

b)  $\frac{\beta\nu}{T}$  von 0 bis 16,0.

Tabelle Vb.  
 $\frac{E}{T}$  nach Debye.

$\frac{\beta\nu}{T}$	0,0	0,1	0,2	0,3	0,4	0,5	0,6	0,7	0,8	0,9	1,0
0	$\infty$	—	5,7330	2135	5,5195	2073	5,3122	2022	5,1100	1970	4,9130
1	4,0168	1633	3,8535	1584	3,6951	1501	3,5450	1459	3,3991	1399	3,2592
2	2,6266	1128	2,5138	1070	2,4068	1021	2,3047	1003	2,2044	976	2,1078
3	1,6873	742	1,6131	708	1,5423	667	1,4756	638	1,4118	626	1,3492
4	1,0821	460	1,0361	430	0,9931	414	0,9517	399	0,9118	385	0,8733
5	0,7009	297	0,6712	274	0,6338	251	0,6187	243	0,5944	236	0,5708
6	0,4618	182	0,4437	178	0,4259	171	0,4088	162	0,3926	139	0,3787
7	0,3128	111	0,3017	109	0,2908	105	0,2803	101	0,2702	97	0,2605
8	0,2195	60	0,2135	58	0,2077	60	0,2017	58	0,1959	54	0,1905
9	0,1639	51	0,1588	52	0,1536	51	0,1485	50	0,1435	51	0,1384
10	0,1149	42	0,1107	37	0,1070	32	0,1038	29	0,1009	26	0,0983
11	0,0866	21	0,0845	21	0,0824	20	0,0804	20	0,0783	20	0,0763
12	0,0671	16	0,0655	15	0,0640	15	0,0625	15	0,0610	15	0,0595
13	0,0526	12	0,0514	12	0,0502	11	0,0491	10	0,0481	10	0,0471
14	0,0420	9	0,0411	8	0,0403	8	0,0395	8	0,0388	8	0,0380
15	0,0343	8	0,0335	7	0,0328	8	0,0320	7	0,0313	5	0,0308

a)  $\frac{\beta^y}{T}$  von 0 bis 2,00. Tabelle VIa.

$\frac{\beta^y}{T}$	0	1	2	3	4	5	6	7	8	9	10
0,1	15,92	47	15,45	45	15,00	44	14,56	42	14,14	40	13,74
0,2	12,01	28	11,73	23	11,50	23	11,27	24	11,03	23	10,80
0,3	9,81	17	9,64	15	9,49	15	9,34	15	9,19	15	9,04
0,4	8,31	13	8,18	12	8,06	11	7,95	12	7,83	11	7,72
0,5	7,19	10	7,09	10	6,99	10	6,89	9	6,80	9	6,71
0,6	6,31	8	6,23	8	6,15	7	6,08	8	6,00	7	5,93
0,7	5,60	7	5,52	7	5,46	6	5,40	6	5,34	6	5,28
0,8	5,006	51	4,950	50	4,905	50	4,855	51	4,804	50	4,754
0,9	4,503	46	4,461	45	4,412	46	4,360	44	4,322	44	4,278
1,0	4,077	39	4,038	39	3,999	39	3,960	39	3,921	38	3,883
1,1	3,695	35	3,660	35	3,625	35	3,590	34	3,556	33	3,528
1,2	3,365	30	3,335	30	3,305	30	3,275	30	3,245	30	3,215
1,3	3,076	27	3,049	27	3,022	26	2,996	27	2,969	27	2,942
1,4	2,819	23	2,796	23	2,773	23	2,750	24	2,726	23	2,703
1,5	2,590	22	2,568	21	2,547	21	2,526	20	2,506	21	2,485
1,6	2,384	19	2,365	19	2,346	18	2,328	18	2,310	19	2,291
1,7	2,199	18	2,181	17	2,164	17	2,147	17	2,130	16	2,114
1,8	2,031	15	2,016	15	2,001	16	1,985	16	1,969	15	1,954
1,9	1,878	15	1,863	14	1,849	14	1,835	14	1,821	14	1,807

$\frac{F}{T}$  nach Debye.

12,01  
9,81  
8,31  
7,19  
6,31  
5,60  
5,006  
4,503  
4,077  
3,695  
3,365  
3,076  
2,819  
2,590  
2,384  
2,199  
2,031  
1,878

34  
17  
14  
10  
6  
5  
5  
5  
36  
7  
7  
40  
10  
8  
8  
15  
11  
7  
7  
6  
6  
5  
5  
36  
30  
30  
36  
22  
22  
20  
20  
19  
19  
15  
15  
13  
13

12,25  
9,98  
8,45  
7,29  
5,65  
5,60  
5,07  
6  
5,01  
4,553  
50  
4,503  
4,077  
3,095  
3,365  
3,076  
2,819  
2,590  
2,384  
2,199  
2,031  
1,878

b)  $\frac{\beta^v}{T}$  von 0 bis 15,0. Tabelle VIb.

$\frac{\beta^v}{T}$	0,0	0,1	0,2	0,3	0,4	0,5	0,6	0,7	0,8	0,9	1,0
0	—	—	15,9180	—	12,0098	—	9,8111	—	8,3113	—	7,1921
1	4,0766	3817	3,6949	3299	3,3650	2894	3,0756	2564	2,8192	2293	2,5899
2	1,7414	1256	1,6158	1142	1,5016	1043	1,3973	962	1,2125	807	1,1318
3	0,8665	543	0,8122	503	0,7619	462	0,7157	462	0,6731	407	0,6324
4	0,4708	259	0,4449	239	0,4210	215	0,3985	211	0,3774	198	0,3576
5	0,2739	134	0,2605	129	0,2476	115	0,2361	110	0,2251	105	0,2146
6	0,1688	75	0,1613	73	0,1540	70	0,1474	66	0,1403	57	0,1351
7	0,1097	42	0,1055	41	0,1014	40	0,0974	37	0,0937	36	0,0901
8	0,0751	21	0,0730	21	0,0709	21	0,0687	20	0,0667	19	0,0646
9	0,0554	18	0,0536	18	0,0518	18	0,0500	17	0,0483	17	0,0466
10	0,0386	15	0,0371	13	0,0358	10	0,0348	10	0,0338	9	0,0329
11	0,0289	7	0,0282	7	0,0275	7	0,0268	7	0,0261	7	0,0254
12	0,0224	6	0,0218	5	0,0213	5	0,0208	5	0,0203	5	0,0198
13	0,0175	3	0,0172	4	0,0167	3	0,0164	4	0,0160	3	0,0157
14	0,0140	3	0,0137	3	0,0134	2	0,0132	3	0,0129	3	0,0126